

Explorando Sistemas Hamiltonianos II: Pontos de Equilíbrio Degenerados (Exploring Hamiltonian Systems II: Degenerate Equilibrium Points)

G. A. Monerat*, E. V. Corrêa Silva, G. Oliveira-Neto, P. H.
A. S. Nogueira, A. R. P. de Assumpção, T. M. G. de Oliveira

*Departamento de Matemática e Computação,
Faculdade de Tecnologia, Universidade do Estado do Rio de Janeiro
Rodovia Presidente Dutra, km 298, Pólo Industrial, CEP 27537-000, Resende, RJ, Brasil.*

Neste segundo artigo sobre sistemas Hamiltonianos, apresentamos o método da explosão (*blow-up*) para a determinação da natureza de pontos fixos (pontos de equilíbrio) degenerados. Aplicamos o método a dois modelos hamiltonianos com um e dois graus de liberdade, respectivamente. Primeiramente, analisamos um sistema formado por um pêndulo simples submetido a um torque externo constante T . Em seguida, consideramos um sistema formado por um pêndulo duplo com segmentos de comprimentos e massas iguais, também submetidos a torques externos constantes e não nulos. A presença de pontos de equilíbrio degenerados nos casos dos pêndulos simples e duplo ocorre para certos valores dos torques externos.

In this second article on Hamiltonian systems, we present the *blow-up* method for the determination of the nature of degenerate fixed points (equilibrium points). We apply the method to two hamiltonian models with one and two degrees of freedom, respectively. Firstly we study a system formed by a simple pendulum submitted to a constant external torque T . Then we consider a system formed by a double pendulum of segments with equal lengths and masses, also submitted to non-vanishing constant external torques. The presence of degenerate equilibrium points in both cases of simple and double pendulums occurs for some values of the external torques.

* E-mail: monerat@uerj.br

I. INTRODUÇÃO

No estudo da dinâmica de sistemas Hamiltonianos [1, 2], a análise do espaço de fase tem como ponto de partida a busca de *pontos de equilíbrio* (também denominados *pontos fixos*). A importância de tais pontos vem do fato de que estes “organizam” a estrutura das órbitas no espaço de fase do sistema (ou, em outras palavras, reduzem as possibilidades para esta estrutura). Na teoria dos sistemas dinâmicos [3], um ponto de equilíbrio (ou, de modo equivalente, a estrutura dos espaço de fase nas suas vizinhanças, que descreve o comportamento dinâmico do sistema nesta região) pode ser classificado mediante o processo de *linearização* [4], que consiste na expansão do sistema de equações em série de Taylor até a primeira ordem, em torno dos pontos de equilíbrio. No entanto, quando a matriz dos coeficientes constantes do sistema linearizado em torno de um dado ponto de equilíbrio (matriz jacobiana) apresenta um ou mais autovalores nulos, o processo de linearização não é suficiente para a caracterização do ponto de equilíbrio; este então é dito *degenerado* [5].

O matemático René Thom [6] foi o primeiro a obter uma classificação para pontos de equilíbrio degenerado. Uma classificação muito simples é também apresentada por *Bautin* [7]. Em 1998, *Aranda* [8] apresenta um método para análise de pontos de equilíbrio degenerados em sistemas planos (bi-dimensionais). Um outro método muito interessante é o da explosão (blow-up) [9]. Este método tem sido aplicado na análise da dinâmica de diversos sistemas físicos com pontos de equilíbrio degenerados. Por exemplo, *Bogoyavlensky* [10] utiliza o método da explosão em sistemas astrofísicos e *Monerat* [11] em modelos cosmológicos de Friedmann-Robertson-Walker, com constante cosmológica e poeira, para descrever a estrutura das curvas no espaço de fase do modelo próximas à singularidade.

Recentemente *Monerat et al.* [12] apresentaram um estudo analítico sobre o comportamento da dinâmica dos pêndulos simples e duplo, ambos submetidos a torques externos constantes, na vizinhança dos pontos de equilíbrio destes sistemas. Observa-se a presença de pontos de equilíbrio degenerados, para determinados valores dos torques externos. Para uma descrição completa desses sistemas, torna-se necessário a classificação destes pontos de equilíbrio degenerados, objetivo deste trabalho. Chamamos a atenção do leitor para a restrição de nossa discussão a sistemas hamiltonianos; para o tratamento dos demais sistemas, sugerimos a referência [9].

Neste trabalho, faremos uso do método da explosão para descrever a estrutura das curvas em uma vizinhança linear dos pontos de equilíbrio degenerados existentes no espaço de fase dos pêndulos simples e duplo. Na seção II, apresentamos o método da explosão, conforme exposto por *Guckenheimer e Holmes* [9], para um sistema hamiltoniano de um grau de liberdade, por questão de simplicidade. Na seção III, aplicamos o método para o pêndulo simples submetido a um torque externo constante, descrito por uma função de Hamilton de um grau de liberdade. Na seção IV, estendemos o método para um sistema hamiltoniano de dois graus de liberdade formado por um pêndulo duplo, também sujeito a ação de torques externos constantes. Na seção V, apresentamos nossos comentários finais e conclusões.

II. O MÉTODO DA EXPLOSÃO (BLOW-UP)

A idéia geral do método da explosão é efetuar uma transformação singular de coordenadas em torno do ponto de equilíbrio degenerado, a fim de expandí-lo em uma esfera n -dimensional contendo um número finito de pontos de equilíbrio do novo sistema. Por questão de simplicidade, apresentaremos nessa seção o método da explosão para sistemas hamiltonianos com um grau de liberdade, estendendo-o em seguida para sistemas com dois graus de liberdade. Uma descrição mais abrangente do método pode ser vista em [13].

Considere um sistema descrito por uma hamiltoniana $\mathcal{H} = \mathcal{H}(x, p_x)$ cuja dinâmica é governada pelas equações

$$\frac{dx(t)}{dt} = \frac{\partial \mathcal{H}}{\partial p_x} = f(x, p_x); \quad \frac{dp_x(t)}{dt} = -\frac{\partial \mathcal{H}}{\partial x} = g(x, p_x), \quad (1)$$

em que $f(x, p_x)$ e $g(x, p_x)$ são funções das coordenadas $\{x, p_x\}$. Suponha que exista no espaço de fase Φ do sistema pelo menos um ponto de equilíbrio \mathcal{P} de coordenadas $x = x^*$, $p_x = p_x^*$; ou seja, um ponto tal que as derivadas de x e p_x em relação ao parâmetro temporal t sejam nulas. Lembramos que o ponto

de equilíbrio em questão estará situado sobre uma superfície de energia no espaço de fase, definida pela equação $E_{fixa} = \mathcal{H}(x^*, p_x^*)$.

Se o ponto de equilíbrio $P(x^*, p_x^*)$ for degenerado (ou seja, se a matriz jacobiana do sistema linearizado em torno de $P(x^*, p_x^*)$ apresentar pelo menos um de seus autovalores nulos), o comportamento na vizinhança linear desse ponto não poderá ser determinado pelo processo de linearização do sistema, conforme discutido em [12].

A estrutura das curvas em torno do ponto degenerado pode ser analisada pelo método da explosão (*blow-up*) [9]. Descrevemos os pontos (x, y) uma vizinhança Φ do ponto de equilíbrio degenerado $P(x^*, p_x^*)$ utilizando coordenadas polares (r, θ) , tal que $r \geq 0$, $0 \leq \theta < 2\pi$ e

$$x - x^* = r \cos \theta \quad (2)$$

$$p_x - p_x^* = r \sin \theta. \quad (3)$$

Naturalmente, o caso $r = 0$, para qualquer θ , corresponde ao ponto \mathcal{P} . Após uma transformação do parâmetro temporal, as equações (1) tomam a forma

$$r \frac{dr(t)}{dt} = \bar{f}(r, \theta); \quad r \frac{d\theta(t)}{dt} = \bar{g}(r, \theta). \quad (4)$$

Podemos associar os pontos da vizinhança Φ a pontos de uma superfície cilíndrica Γ (vide Fig. 1), de coordenadas (cilíndricas) (r, θ) . Sejam Γ_+ , Γ_0 e Γ_- os subconjuntos de Γ tais que $r > 0$, $r = 0$ e $r < 0$, respectivamente; e seja $\Phi_+ = \Phi - \{\mathcal{P}\}$. Cada ponto de Φ_+ corresponde a um ponto de Γ_+ , e vice-versa. O ponto de equilíbrio degenerado \mathcal{P} corresponde a Γ_0 , ou seja, a circunferência $r = 0$ sobre Γ . Não há pontos em Φ correspondentes a pontos de Γ_- .

Determinamos então os pontos de equilíbrio do sistema (4), $\mathcal{Q}_i(r = 0, \theta_i^*) \in \Gamma_0$, tal que $i = 1, 2, \dots, n$. Estes pontos correspondem às direções, em Φ , segundo as quais as órbitas se aproximam ou se afastam do ponto degenerado \mathcal{P} . Caso todos os pontos \mathcal{Q}_i sejam não-degenerados, a linearização do sistema (4) em torno de cada um destes determinará completamente a estrutura das órbitas, nas suas respectivas vizinhanças lineares, e portanto a estrutura das órbitas na vizinhança de \mathcal{P} . Contudo, se ainda houver algum \mathcal{Q}_i degenerado, realiza-se uma nova explosão em torno deste ponto (introduzindo-se novas coordenadas), e assim por diante. Sugerimos ao leitor interessado a Ref.[9] para maiores detalhes e exemplos do método da explosão.

III. O PÊNDULO SIMPLES

Vamos aplicar o método descrito na seção II ao pêndulo simples submetido a um torque externo constante de intensidade $T = mgL$, em que m é a massa da partícula, L o comprimento do pêndulo e g a aceleração da gravidade local. Tal sistema pode ser descrito por uma função de Hamilton na forma

$$H = \frac{p_\varphi^2}{2mL^2} - mgL \cos(\varphi) - mgL\varphi. \quad (5)$$

As equações de Hamilton que governam a dinâmica desse sistema apresentam um ponto de equilíbrio no ponto $P^*(\varphi^*, p_\varphi^*)$, do espaço de fase, tal que $\varphi^* = \frac{\pi}{2}$, $p_\varphi^* = 0$; este ponto possui energia $E_{fixa} = -\frac{mgL\pi}{2}$. O processo de linearização [12] das equações de Hamilton em torno da vizinhança linear do ponto P^* coloca o sistema (4) na forma

$$\frac{d\vec{X}(t)}{dt} = J(\vec{X}(t) - \vec{X}^*), \quad (6)$$

em que $\vec{X}(t) = (\varphi(t), p_\varphi(t))$, $\vec{X}^* = (\varphi^*, p_\varphi^*)$ e J é a matriz jacobiana do sistema para o ponto P^* ,

$$J = \begin{pmatrix} 0 & \frac{1}{mL^2} \\ 0 & 0 \end{pmatrix}. \quad (7)$$

Os autovalores da matriz jacobiana J são nulos, indicando que o ponto de equilíbrio P^* é um ponto de equilíbrio degenerado.

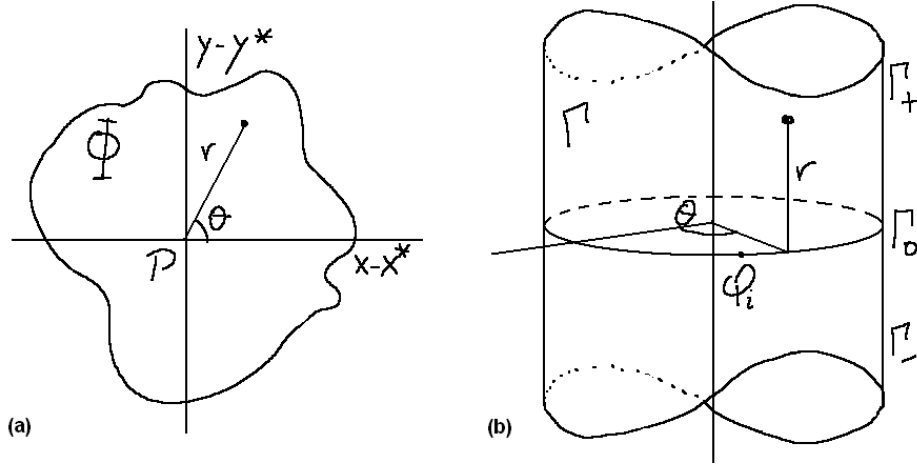


FIG. 1: O método da explosão (*blow-up*). Em (a), pontos da vizinhança Φ de um ponto de equilíbrio degenerado \mathcal{P} são descritos por coordenadas polares (r, θ) (vide Eq.(3)); as equações de movimento são escritas nestas coordenadas (vide. Eq.(4)). Por sua vez, (b) mostra que (r, θ) podem ser interpretadas como coordenadas *cilíndricas* de pontos sobre uma superfície cilíndrica Γ . Sejam Γ_+ , Γ_0 e Γ_- os subconjuntos de Γ tais que $r > 0$, $r = 0$ e $r < 0$, respectivamente; e seja $\Phi_+ = \Phi - \{\mathcal{P}\}$. Há uma correspondência biunívoca entre os pontos de Φ_+ e Γ_+ ; o ponto de equilíbrio degenerado \mathcal{P} corresponde a Γ_0 (a circunferência $r = 0$ sobre Γ); e os pontos de Γ_- não correspondem a nenhum ponto de Φ . As equações de movimento nas coordenadas (r, θ) terão pontos de equilíbrio $\mathcal{Q}_i \in \Gamma_0$. Se todos estes forem não-degenerados, a linearização em torno de cada \mathcal{Q}_i determinará a natureza das órbitas em torno de \mathcal{P} . Se houver ainda algum \mathcal{Q}_i degenerado, uma nova explosão em torno deste ponto será realizada, e assim por diante.

Vamos agora aplicar o método apresentado na seção II. Para isso, de acordo com (3), faremos uma transformação de variáveis

$$\varphi = r \cos \theta; \quad p_\varphi = r \sin \theta, \quad (8)$$

tal que o sistema de equações diferenciais formado pelas equações de Hamilton assume a forma

$$r \frac{dr}{dt} = \frac{-r \cos(\theta) (m^2 g L^3 \sin(r \sin(\theta)) - m^2 g L^3 - r \sin(\theta))}{m L^2}, \quad (9)$$

$$r \frac{d\theta}{dt} = \frac{m^2 g L^3 \sin(r \sin(\theta)) \sin(\theta) - m^2 g L^3 \sin(\theta) - \sin(\theta)^2 r + r}{m L^2}. \quad (10)$$

De acordo com o método, inicialmente consideramos o limite $r \rightarrow 0$ nas equações (9) e (10); em seguida, determinamos os valores de $\theta = \theta^*$ que fornecerão as coordenadas do ponto de equilíbrio degenerado nas novas coordenadas. O resultado neste caso é $\theta^* = 0$. Tal ponto está associado a uma superfície de energia $\bar{E}_{fixa} = -mgL$. Então, de acordo com o método exposto na seção II, linearizamos o sistema em torno do ponto $(r = 0, \theta^* = 0)$; a matriz jacobiana nas novas variáveis é

$$\bar{J} = \begin{pmatrix} 0 & mgL \\ -mgL & 1/mL^2 \end{pmatrix}. \quad (11)$$

A natureza de tal ponto de equilíbrio é determinada pelos autovalores da matriz \bar{J} :

$$\lambda_1 = \frac{1 + \sqrt{1 - 4m^4 L^6 g^2}}{2mL^2}; \quad \lambda_2 = \frac{1 - \sqrt{1 - 4m^4 L^6 g^2}}{2mL^2}. \quad (12)$$

Podemos observar que se $m^4 = \frac{1}{4L^6g^2}$ ambos os autovalores são reais e $\lambda_1 = \lambda_2 > 0$, indicando que tal ponto apresenta um equilíbrio instável, denominado “nó flexionado” (*inflected node*) [4]. A condição $m^4 > \frac{1}{4L^6g^2}$ indica que o ponto de equilíbrio é do tipo Foco, ou seja, autovalores complexos da forma $\lambda = a \pm ib$, em que $\{a, b\}$ são números reais e positivos [4]. Esse resultado indica que o volume do espaço de fase não é conservado. Em sistemas Hamiltonianos conservativos, com dois graus de liberdade, pode ocorrer o aparecimento de pontos de equilíbrio do tipo Foco-Generalizado conforme mostrado em [14]. Nesses casos estes pontos representam situações de equilíbrio instável. Para $m^4 < \frac{1}{4L^6g^2}$ os autovalores são reais e distintos, configurando um nó instável.

A solução geral do sistema linearizado formado pelas equações (9) e (10) em torno do ponto de equilíbrio é uma superposição (combinação linear) das soluções linearmente independentes:

$$X_i(t) = \sum_{m=1}^2 c_m^{(i)} A_m^{(i)} e^{\lambda_m^{(i)} t}, \quad (13)$$

em que os $A_m^{(i)}$ são os autovetores associados aos autovalores $\lambda_m^{(i)}$ da matriz J_i , e os coeficientes $c_m^{(i)}$ são constantes de integração que dependem das condições iniciais escolhidas.

Em termos das variáveis r, θ as soluções[12] válidas numa vizinhança linear do ponto de equilíbrio são da forma

$$r(t) = c_1 \lambda_1 e^{\lambda_1 t} + c_2 e^{\lambda_2 t} \quad (14)$$

$$\theta(t) = c_3 \lambda_2 e^{\lambda_1 t} + c_4 e^{\lambda_2 t}. \quad (15)$$

em que λ_1 e λ_2 são dados por (12). Como já mencionado, as soluções (14) e (15) dependem da relação entre os valores da massa e do comprimento do pêndulo. A estrutura das curvas na vizinhança linear dos pontos de equilíbrios para os casos de nó instável (quando $m^4 < \frac{1}{4L^6g^2}$), nó flexionado (quando $m^4 = \frac{1}{4L^6g^2}$) e foco (quando $m^4 > \frac{1}{4L^6g^2}$) podem ser vistos na Ref.[4].

IV. O PÊNDULO DUPLO

Um pêndulo duplo de massas idênticas m e segmentos de comprimentos idênticos L , sob a ação de torques externos constantes de intensidades $\beta_1 = 2mgL$ e $\beta_2 = mgL$, respectivamente, apresenta um ponto de equilíbrio degenerado no seu espaço de fase[12]. Este sistema é descrito por uma função de Hamilton de dois graus de liberdade na forma

$$\mathcal{H} = \frac{p_1^2}{2} + \frac{p_2^2}{2} - \frac{\cos(\varphi_1 - \varphi_2) p_1 p_2}{mL^2(1 + \sin(\varphi_1 - \varphi_2)^2)} - 2mgL \cos(\varphi_1) - mgL \cos(\varphi_2) + 2mgL \varphi_1 + mgL \varphi_2. \quad (16)$$

As equações de Hamilton governam a dinâmica do sistema; elas constituem um conjunto de quatro equações diferenciais não lineares, e possuem um ponto de equilíbrio degenerado P_0 de coordenadas

$$P_0 : (p_1 = 0, \varphi_1 = -\pi/2, p_2 = 0, \varphi_2 = -\pi/2), \quad (17)$$

com uma energia associada $E_0 = -\frac{3}{2}\pi mgL$. Em se tratando de um ponto de equilíbrio degenerado, o processo de linearização do sistema de equações em torno desse ponto não é suficiente para caracterizá-lo (i.e., caracterizar o comportamento do sistema em sua vizinhança). Para determinarmos a natureza deste ponto de equilíbrio faremos uso do método da explosão, apresentado na seção II. O pêndulo duplo possui dois graus de liberdade (φ_1, φ_2) , aos quais associamos os momenta canonicamente conjugados (p_1, p_2) , respectivamente. Portanto, utilizaremos coordenadas hiperesféricas quadridimensionais,

(R, θ, ϕ, η) , definidas pelas transformações ¹ de variáveis

$$\begin{cases} \varphi_1 = R \operatorname{sen}(\theta) \cos(\phi) \operatorname{sen}(\eta) & ; p_1 = R \operatorname{sen}(\theta) \operatorname{sen}(\phi) \operatorname{sen}(\eta), \\ \varphi_2 = R \cos(\theta) \operatorname{sen}(\eta) & ; p_2 = R \cos(\eta), \end{cases} \quad (18)$$

em que $\eta \in [0, \pi]$, $\theta \in [0, 2\pi]$, $\phi \in [0, 2\pi]$ e $R \in [0, \infty)$. Substituindo as expressões (18) nas equações de Hamilton do sistema obtido a partir da hamiltoniana (16), obtemos um novo conjunto de quatro equações diferenciais nas novas variáveis (R, θ, ϕ, η) . As equações de Hamilton nas variáveis originais pode ser visto na Ref. [12]; nas novas variáveis, as equações tomam a forma

$$\begin{cases} R \frac{dR}{dt} = f_1(R, \theta, \phi, \eta); & R \frac{d\theta}{dt} = f_2(R, \theta, \phi, \eta) \\ R \frac{d\phi}{dt} = f_3(R, \theta, \phi, \eta); & R \frac{d\eta}{dt} = f_4(R, \theta, \phi, \eta). \end{cases} \quad (19)$$

As coordenadas do ponto de equilíbrio degenerado nas novas variáveis são obtidas anulando o lado esquerdo das equações (19), e em seguida, considerando o limite $R \rightarrow 0$ das funções f_i , $i \in \{1, 2, 3, 4\}$. Temos dessa forma um sistema algébrico de três equações (já que a primeira equação é identicamente nula),

$$\begin{cases} -2mgL \cos(\phi) [\operatorname{sen}(\theta)\operatorname{sen}(\eta)]^{-1} = 0; \\ -2mgL \operatorname{sen}(\phi) \cos(\theta) [\operatorname{sen}(\eta)]^{-1} = 0; \\ -2mgL \cos(\eta) \operatorname{sen}(\theta) \operatorname{sen}(\phi) + mLg \operatorname{sen}(\eta) = 0, \end{cases} \quad (20)$$

cuja solução fornece quatro pontos de equilíbrio,

$$\begin{cases} Q_1 : (R = 0, \phi = \pi/2, \eta = \arctan(2), \theta = \pi/2); \\ Q_2 : (R = 0, \phi = \pi/2, \eta = -\arctan(2), \theta = -\pi/2); \\ Q_3 : (R = 0, \phi = -\pi/2, \eta = -\arctan(2), \theta = \pi/2); \\ Q_4 : (R = 0, \phi = -\pi/2, \eta = \arctan(2), \theta = -\pi/2). \end{cases} \quad (21)$$

Todos os pontos de equilíbrio descritos em (21) estão associados a mesma superfície de energia $\epsilon_i = -3mgL$. Ao linearizarmos o sistema de equações (19) em torno de qualquer um dos pontos de equilíbrio, obtemos matrizes jacobianas idênticas, da forma

$$J_i = \begin{pmatrix} -\sqrt{5}mgL & 0 & 0 & 0 \\ 0 & \sqrt{5}mgL & 0 & 0 \\ -\frac{1}{2mL^2} & 0 & \sqrt{5}mgL & 0 \\ 0 & 0 & 0 & \sqrt{5}mgL \end{pmatrix}. \quad (22)$$

em que $i \in \{1, 2, 3, 4\}$. O conjunto λ_i de autovalores das matrizes jacobianas fornecerão a natureza do i -ésimo ponto. Obtemos,

$$\lambda_{1,2} = \pm\sqrt{5}mgL; \quad \lambda_{3,4} = \sqrt{5}mgL. \quad (23)$$

¹ Uma hipersfera quadridimensional de raio R é o lugar geométrico dos pontos do espaço euclidiano \mathbb{R}^4 , da forma $(\varphi_1, p_1, \varphi_2, p_2)$, que guardam a mesma distância R da origem, satisfazendo portanto à equação cartesiana $\varphi_1^2 + p_1^2 + \varphi_2^2 + p_2^2 = R^2$. Esta equação é a generalização do caso bidimensional (circunferência, $x^2 + y^2 = R^2$) e tridimensional (superfície esférica, $x^2 + y^2 + z^2 = R^2$).

Este resultado indica [4] que os quatro pontos de equilíbrio correspondem à combinação de uma sela ($\lambda_{1,2}$) e de um nó flexionado ($\lambda_{3,4}$); representam, portanto, situações de equilíbrio instável.

V. CONCLUSÃO E COMENTÁRIOS FINAIS

Neste trabalho, aplicamos o método da explosão (*blow-up*) para a determinação da natureza de pontos de equilíbrio degenerados no espaço de fase de dois modelos hamiltonianos: o pêndulo simples e o pêndulo duplo, ambos sob a ação de torques externos constantes. Concluímos que *todos* os pontos degenerados existentes nestes dois sistemas descrevem situações de equilíbrio instável. No caso do pêndulo simples, mostramos que há apenas um ponto de equilíbrio degenerado; este pode ser um nó instável simples ou flexionado, dependendo da relação entre a massa e o comprimento do pêndulo. No caso do pêndulo duplo, após a explosão observamos a existência de quatro pontos de equilíbrio instáveis de mesma natureza; cada um deles consistem no produto direto de uma sela hiperbólica (associada a um par de autovalores reais e simétricos) por um nó flexionado. Assim, o método em questão permite a descrição das soluções na vizinhança linear de cada um dos pontos de equilíbrio degenerados, mostrando ser uma técnica eficaz na análise da estabilidade/instabilidade de tais sistemas. A relativa simplicidade do método permite que este possa integrar o programa de uma disciplina de Sistemas Dinâmicos a ser cursada após a disciplina de Mecânica Analítica[15] nos cursos de graduação em Física, conforme discutido em [12].

AGRADECIMENTOS

G. A. Monerat, E. V. Corrêa Silva (Bolsista do CNPq, Brasil), e G. Oliveira-Neto agradecem ao CNPq (Edital Universal CNPq/2006 - Proc. 476852/2006-4). G.A. Monerat agradece a FAPERJ (Proc. No. E- 26/170.762/2004). T. M. G. de Oliveira (Bolsista do CNPq, Brasil) agradece ao CNPq pela bolsa de Iniciação Científica concedida no Edital PIBIC/2007.

VI. REFERÊNCIAS

-
- [1] A. M. O. de Almeida, *Sistemas Hamiltonianos Caos e Quantização*, Ed. Unicamp - Terceira Edição, 1995.
 - [2] E. Ott, *Chaos in Dynamical Systems*, second Edition, Cambridge, 2002.
 - [3] L. H. A. Monteiro, *Sistemas Dinâmicos*, Editora Livraria da Física, 2002.
 - [4] N. Fiedler-Ferrara; C. P. Cintra do Prado, *Caos Uma Introdução*, Ed. Edgard Blücher Ltda, 1995.
 - [5] R. Seydel, *From to Equilibrium to Chaos - Practical bifurcation and stability analysis*. Elsevier: New York, 1988.
 - [6] R. Thom, *Structural Stability and Morphogenesis*, Benjamim, 1975.
 - [7] Bautin, N. N., E. A., *Methods and techniques of Qualitative Analysis of Dynamical System in a Plane.*, Nauka, Moscow (1976).
 - [8] J. I. Aranda Iriarte, *Métodos simples para el análisis de puntos degenerados de sistemas analíticos planos*, Tese de doutorado, Departamento de Matemática Aplicada, Universidad Complutense de Madrid, 1998.
 - [9] J. Guckenheimer; P. Holmes, *Nonlinear Oscillations, Dynamical Systems, and Bifurcations of Vector Fields*. Springer-Verlag, New York, Second Printing, 1983.
 - [10] O. I. Bogoyavlensky. *Methods in the Qualitative Theory of Dynamical Systems in Astrophysics and Gas Dynamics*. Springer-Verlag, 1985.
 - [11] G. A. Monerat, *Caos em Universos Pré-Inflacionários de Friedmann-Robertson-Walker*, Dissertação de Mestrado, Instituto de Física, Universidade do Estado do Rio de Janeiro, 1999.
 - [12] G. A. Monerat, E. V. Corrêa Silva, G. Oliveira-Neto, A. R. P. de Assumpção, A. R. R. Papa, *Sistemas Hamiltonianos: Estudo Analítico*, Revista Brasileira de Ensino de Física, v. **28**, n. 2, p.177 -189, 2006.
 - [13] Takens, F. *Singularities of Vector Fields*. Publ. Math, IHES, **43**, 47-100, (1974).
 - [14] N. A. Lemos; G. A. Monerat; H. P. de Oliveira; I. D. Soares. *Chaos in Friedmann-Robertson-Walker Universes*. XXI Encontro Nacional de Física de Partículas e Campos, São Lourenço, 2000. São Paulo: Sociedade Brasileira de Física, 2000. Disponível em: <<http://www.sbf1.sbfisica.org.br/eventos/enfpc/xxi/procs/res206/>>. Acessado em julho de 2007.
 - [15] N. A. Lemos, *Mecânica Analítica*, Ed. Livraria da Física - Primeira Edição, 2004.